

بررسی پایداری شیروانی سد خاکی تحت شرایط بارگذاری مختلف با استفاده از روش قطعی و تحلیل قابلیت اطمینان (مطالعه موردی: سد نمرود)

* امین ابراهیمی^۱

مجتبی کریمائی طبرستانی^۲

چکیده

تحلیل پایداری شیروانی‌ها نظری شیروانی سدهای خاکی یکی از مسائل با اهمیت در مهندسی زئوتکنیک است. علت این موضوع در پیچیدگی مدل‌سازی رفتار خاک و سنگ و وجود عدم‌قطعیت‌های ذاتی و شناختی در فرا‌سنجه‌های مؤثر بر پایداری توده خاک است که می‌تواند منجر به برآوردن ناصحیح از احتمال پایداری سازه سد شود. بر این اساس در تحقیق حاضر اقدام به محاسبه ضریب‌های اینمی پایداری شیروانی سد خاکی نمرود در استان تهران به عنوان مطالعه موردی در شرایط مختلف بارگذاری شامل تراویش ماندگار و پایان ساخت در حالت قطعی و احتمالاتی گردید. برای انجام تحلیل احتمالاتی از بسته نرم‌افزاری Geo-studio و روش تحلیل قابلیت اطمینان شبیه‌سازی مونت‌کارلو استفاده شد. همچنین اثر اعمال بار زلزله بر پایداری سازه سد نمرود مورد بررسی قرار گرفت. نتایج نشان داد که در شرایط موجود سد احتمال شکست مقطع‌های بحرانی سد نمرود ناچیز بوده؛ به‌گونه‌ای که بیشترین مقدار احتمال شکست برابر با 0.00007 بدست آمد. در ادامه اقدام به مطالعه میزان حساسیت خصوصیات احتمالاتی فرا‌سنجه‌های مؤثر روودی بر احتمال پایداری شیروانی سد گردید. نتایج تحلیل حساسیت نشان داد که با افزایش بار زلزله به میزان 15 درصد، احتمال شکست سد به میزان 100 درصد افزایش یافت. همچنین نتایج نشان داد که نوع توزیع فرا‌سنجه‌های مؤثر اثر چندانی بر احتمال شکست سازه سد ندارد به‌گونه‌ای که با تغییر نوع توزیع فراسنجه وزن مخصوص از حالت نرمال به لگنرمال^۳، احتمال شکست سد تنها به میزان $1/88$ درصد کاهش می‌یابد.

واژه‌های کلیدی:

سد خاکی نمرود، پایداری شیروانی، روش تعادل حدی، تحلیل قابلیت اطمینان، احتمال شکست

^۱ فارغ‌التحصیل کارشناسی ارشد مهندسی زئوتکنیک، دانشگاه تربیت دبیر شهید رجایی، تهران. AminEbrahimi060@gmail.com

^۲ استادیار گروه مهندسی زئوتکنیک و آب، دانشگاه تربیت دبیر شهید رجایی، تهران

مقدمه

سلستینو و دانکن در سال ۱۹۸۱^۱ جهت تعیین سطح-های شکست بحرانی غیر دایره‌ای در روش تعادل حدی از روش فرا سنجه‌های تناوبی استفاده کردند. البته محدودیت این روش، مشخص بودن محدوده سطح لغزش بحرانی است. آرای و تاگیو در سال ۱۹۸۵^۲ در تحقیق خود با استفاده از روش جانبو^۳ و گرادیان مزدوج، سطح گسیختگی و ضریب ایمنی حداقل را محاسبه نمودند.

ها و دلوین^۴ با استفاده از ترکیب روش برنامه‌نویسی پویا^۵ و المان محدود اقدام به محاسبه پایداری شیروانی خاکی نمودند. مقایسه نتایج حاصل از این تحلیل با روش‌های معمول حالات حدی نشان داد که نتایج روش این محققین از انعطاف‌پذیری بیشتری با توجه به موقعیت و شکل سطح لغزش بحرانی انتخابی برخوردار است که می‌تواند به نتایج بهتری دست یابد.

چنگ و ژو در سال ۲۰۰۴^۶ روشی را برای محاسبه مقدار ضریب ایمنی دو بعدی با استفاده از روش تعادل حدی ارائه دادند ایشان در روش خود از تقریب خطی گوس-نیوتن استفاده کردند. ذوالفاری (۲۰۰۵)^۷ از الگوریتم ساده شده زنگیک، چنگ در سال ۲۰۰۸^۸ از روش الگوریتم ماهی‌ها، کانگ و همکاران در سال ۲۰۱۳^۹ با روش الگوریتم مصنوعی اجتماع زنبر، به تحلیل پایداری شیروانی پرداختند.

اخیراً استفاده از روش قابلیت اطمینان با توجه به قابلیت بالای آن‌ها در بهینه نمودن طرح‌های مهندسی و بالا بردن توان مدیریتی پروژه‌ها مورد توجه قرار گرفته است. روش‌های رایج احتمالاتی شامل روش شبیه‌سازی مونت‌کارلو^{۱۰}، MCST^{۱۱}، روش قابلیت اطمینان مرتبه اول^{۱۲} FORM و SORM^{۱۳} می‌باشند. از بین روش‌های مختلف تحلیل قابلیت اطمینان، روش‌های

مرحله طراحی و مطالعات اولیه بر روی تحلیل پایداری شیروانی سدهای خاکی می‌باشد با دقت و حساسیت بالایی صورت پذیرد زیرا اطلاعات اساسی در این مرحله مانند نوع بدن سد، شیب شیروانی، نوع مصالح و نوع اجزا اصلی مشخص می‌گردد. تحلیل پایداری شیروانی شیب‌ها نظیر شیروانی‌های خاکی نامحدود سدهای خاکی یکی از مسائل پرتنش و چالش‌برانگیز مهندسی ژئوتکنیک است. علت این موضوع در پیچیدگی مدل‌سازی رفتار خاک و سنگ و وجود عدم قطعیت‌های ذاتی و شناختی در فرا سنجه‌های مؤثر بر پایداری توده خاکی است. در روش‌های کلاسیک، پایداری شیروانی سدهای خاکی را عموماً با تعیین یک مقدار ثابت برای کمیت ضریب ایمنی تعریف می‌کنند. ضریب ایمنی قابل قبول در تحلیل پایداری شیروانی سدهای خاکی بین ۱/۱ و ۱/۵ در شرایط مختلف بارگذاری نظیر شرایط تراوش ماندگار، پایان ساخت، تخلیه سریع به همراه اعمال بار زلزله تعریف می‌شود (بیشاپ و مورگنسترن، ۱۹۶۰)^{۱۴}. از طرفی اثرات غیرقطعی همیشه در تحلیل و طراحی سازه‌ها وجود دارد و درنتیجه جهت دست‌یابی به یک طرح ایمن، اتکا به یک عدد به عنوان ضریب ایمنی ثابت منطقی به نظر نمی‌رسد. به خصوص در مهندسی ژئوتکنیک به دلیل رفتارهای ناشناخته خاک و سنگ این موضوع اهمیت دوچندان دارد. در تعیین ضریب ایمنی پایداری شیروانی سدهای خاکی روش‌های گوناگون و کارآمدی وجود دارد. روش تعادل حدی پرکاربردترین و مهم‌ترین روش قطعی جهت تحلیل پایداری شیروانی سدهای خاکی به حساب می‌آید که استفاده از آن در مطالعات محققین مختلف بیشتر به چشم می‌خورد.

^۱ Bishop and Morgenstern 1960

^۲ Celestino and Duncan 1981

^۳ Arai and Tagyo 1985

^۴ Method of Johnbo

^۵ Ha and Delwyn 2003

^۶ Dynamic Programming

^۷ Cheng and Zhu 2004

^۸ Cheng 2008

^۹ Kang and Ma 2013

^{۱۰} Monte Carlo Simulation Technique

^{۱۱} First Order Reliability Method

^{۱۲} Second Order Reliability Moment

مؤثر برای ارزیابی قابلیت اطمینان لرزمهای از دیدگاه تصادفی است و می‌تواند به طور مستقیم احتمال شکست را منعکس کند.

سیاکارا و همکاران در سال ۲۰۲۰^۵ در پژوهشی به بررسی پایداری و محاسبه میزان ایمنی سد خاکی با روش FORM تعادل محدود پرداختند. در این پژوهش از روش Geo-Studio و همچنین بسته نرم‌افزاری Geo-Studio جهت تحلیل قابلیت اطمینان سد استفاده شد. نتایج نشان داد که فراسنجهای تصادفی هدایت هیدرولیکی اشباع، زاویه اصطکاک داخلی خاک و چسبندگی بیشترین سهم را بر احتمال شکست سد دارند.

در مقاله گوو و دیاس در سال ۲۰۲۰^۶ جهت محاسبه احتمال شکست سد از روش MCST و FORM استفاده شد. در این تحقیق تأثیر عوامل مختلفی نظیر طول تخلیه فیلتر و سطح آب مخزن مورد بررسی قرار گرفت. بررسی نتایج نشان داد که در اکثر موارد این دو روش می‌توانند تخمین‌های مشابهی برای احتمال شکست به دست دهنند. در سال‌های اخیر استفاده از تحلیل قابلیت اطمینان در علوم مختلف به خصوص مهندسی ژئوتکنیک به نحو چشمگیری افزایش یافته است. آیین‌نامه‌های مختلف در حال تغییر و انتقال از مرحله طراحی قطعی به طراحی غیرقطعی و استفاده از تحلیل قابلیت اطمینان می‌باشند. به این ترتیب نیاز است مطالعات مختلف در این زمینه انجام شود و کارایی آن مورد بررسی بیشتر قرار گیرد (کریماei طبرستانی، ۱۳۹۸).

بر این اساس در تحقیق حاضر اقدام به مطالعه تحلیل قابلیت اطمینان پایداری شیروانی سد خاکی نمود به عنوان مطالعه موردی می‌گردد و زوایای مختلف این تحلیل مورد بررسی قرار می‌گیرد. برای این منظور دو مقطع از مقطع‌های بحرانی سد انتخاب شد و مقادیر ضریب ایمنی قطعی به روش تعادل حدی مورگنسنرن - پرایس و بیش اپ در حالت‌های متعارف بارگذاری شامل پایان ساخت و تراویش ماندگار محاسبه و بررسی می‌شود. در ادامه با در نظر گرفتن فراسنجهای دارای عدم قطعیت و مبانی

شبیه‌سازی نظیر MCST بدون نیاز به انجام محاسبات پیچیده، احتمال شکست سیستم را به دست می‌دهند. در روش MCST بعد از تعیین معادله هدف یا تابع حالت حدی، با توجه به مشخصات توزیع آماری هر فراسنجه تصادفی مؤثر بر پدیده نظیر میانگین، واریانس و ضریب پراکندگی، اقدام به تولید تعداد کافی داده شبیه‌سازی شده از آن فراسنجه می‌شود و پس از قرار داده‌ها در تابع هدف، احتمال شکست سازه و شاخص قابلیت اطمینان با توجه به داده‌های شبیه‌سازی شده محاسبه می‌گردد. این روش با توجه به سادگی محاسبات و دقت بالا (در صورت تولید داده‌های کافی) از محبوبیت زیادی برخوردار است ولی مشکل آن حجم زیاد محاسبات و سرعت کم زمان اجرا است. از سال ۱۹۷۰ مباحث قابلیت اطمینان در مهندسی عمران نظر بسیاری از اندیشمندان و پژوهش‌گران این عرصه را به خود جلب نمود پیراس^۱ در سال ۲۰۱۲ در سال‌های اخیر پیشرفت‌هایی در مورد تحلیل مسائل مربوط به سدهای خاکی با استفاده از تحلیل قابلیت اطمینان صورت پذیرفت. که در ادامه به برخی از این پژوهش‌ها اشاره می‌گردد.

گریفیتس و همکاران در سال ۲۰۱۱^۲ مطالعه‌ای را بر روی تحلیل قابلیت اطمینان شیروانی خاکی نامحدود انجام دادند. ایشان در تحقیق خود از روش‌های شبیه‌سازی و قابلیت اطمینان مرتبه اول استفاده کردند و نتیجه گرفتند که روش شبیه‌سازی مقادیر احتمال شکست بزرگ‌تری را بدست می‌دهد.

حیدری و امری در سال ۱۳۹۴ در پژوهشی اقدام به ارائه یک روش برای تحلیل قابلیت اطمینان سد کارون^۴ تحت بارگذاری لرزمهای تصادفی نمودند. نتایج این پژوهش نشان داد که اعتمادپذیری عملکردی سد بتنی کارون^۴ برابر با ۹۹ درصد است که ایمنی نسبتاً زیادی است.

پانگ و همکاران در سال ۲۰۱۸ در تحقیق خود به بررسی قابلیت اطمینان لرزمهای سد خاکی با روش تحول چگالی احتمال که اخیراً توسعه یافته (GPDEM)^۴ پرداختند. نتایج نشان می‌داد که GPDEM یک رویکرد

^{*} Generalized Probability Density Evolution Method (GPDEM)

^۱ Siakara et al 2020

^۲ Guo & Dias 2020

^۱ Peyras 2012

^۲ Griffiths et al. 2011

^۳ Pang et al 2018

طول جغرافیایی 35° و $35^{\circ} 52'$ و عرض جغرافیایی 43° و $43^{\circ} 35'$ بر روی رودخانه نمرود واقع است. هدف از ساخت سد مخزنی نمرود تأمین آب کشاورزی موردنیاز دشت‌های گرمسار، ایوانکی و آب شرب و صنعتی این شهرستان‌ها است (مهندسين مشاور لار، ۱۳۸۱). این سد خاکی از نوع سنگریزه‌ای با هسته رسی و با رقوم تاج 2022 متر از سطح دریا و ارتفاع 82 متر از بستر رودخانه ساخته شد که با توجه به رقوم پی‌کنی هسته، حداقل ارتفاع سد از پی معادل $83/5$ متر است. ساختگاه سد مخزنی نمرود در دره‌ای نسبتاً باز و متقاضن قرار دارد. تکیه‌گاه راست و قسمت پایاب تکیه‌گاه چپ دارای شیب عمومی $2 : 1$ تا $2/5 : 1$ بوده در حالی که شیب عمومی تکیه‌گاه چپ در قسمت سراب بین $1 : 2/5$ تا $1 : 3$ است. پی سد از سنگ‌های آذرآواری از جنس توف همراه با لایه‌های آهکی تشکیل یافته است. در جدول (۱) مشخصات اجزا اصلی سد ارائه شده است. جهت مدل‌سازی پژوهش حاضر دو مقطع از مقطع‌های بحرانی سد خاکی نمرود انتخاب شد. مقطع شماره 1 در منتهی‌الیه جناح چپ بدنه سد قرار دارد. در این مقطع ارتفاع سد از کف هسته تا رقوم تاج سد حدود 43 متر و عرض کف هسته $22/60$ متر است. شیروانی بالادست با شیب 1 قائم به $2/5$ افقی به سطح زمین می‌رسد. کل این مقطع روی سنگ پی قرار دارد این مقطع به دلیل داشتن ترکیب مصالح سازنده بدنه سد در مسیر سطوح لغزش احتمالی دارای ضعیفترین فرا سنجه‌های مقاومت برشی است. این مقطع به عنوان یکی از مقطع‌های بحرانی سد است. در شکل (۱) مقطع عرضی (۱) (مقطع جناح چپ) سد خاکی نمرود نشان داده شده است. مقطع عرضی (۲) در قسمت میانی بدنه سد قرار دارد. در این مقطع ارتفاع سد از کف هسته تا رقوم تاج سد حدود $83/5$ متر و عرض کف هسته 38 متر است. به طور کامل این مقطع بر روی آبرفت بستر رودخانه قرار دارد.

این مقطع از سد به دلیل داشتن بیشترین ارتفاع، به عنوان یکی دیگر از مقطع‌های بحرانی جهت مطالعه پایداری شیروانی مطرح است. در شکل (۲) مقطع عرضی (۲) سد خاکی نمرود نشان داده شده است.

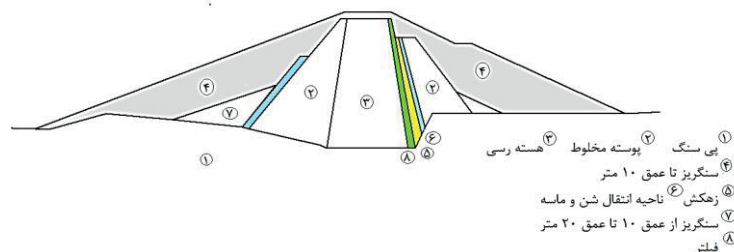
احتمالات و با انتخاب روش MCST در حالت‌هایی نظری شرایط موجود، تحلیل حساسیت اندازه بار زلزله، تحلیل حساسیت انحراف معیار استاندارد، اعمال ضربی همبستگی و تغییر نوع توزیع فرا سنجه‌های مؤثر اقدام به محاسبه شاخص قابلیت اطمینان و احتمال شکست سد می‌گردد.

نرم‌افزار Geo-Studio

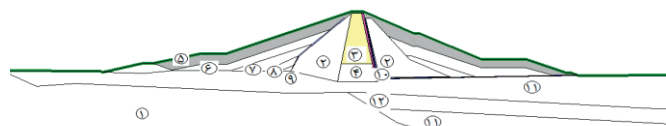
نرم‌افزار Geo-Studio از جمله برنامه‌های ژئوتکنیکی مبتنی بر اجزاء محدود بوده و از طریق آن می‌توان تحلیل‌هایی از قبیل تنش-کرنش، جریان، تراوش، پایداری شیروانی، تحلیل دینامیکی و همچنین شرایط افت سریع را بررسی کرد. این بسته نرم‌افزاری شامل مازول‌های مختلف SIGMA/W برای تحلیل تنش-کرنش، SLOPE/W برای SEEP/W برای تحلیل جریان تراوش، SEEP/W بر اساس رابط پایداری شیروانی است. نرم‌افزار SIGMA/W برای اشاعه دارسی^۱ که عبور جریان آب از خاک را در دو حالت اشاعه و غیراشاعه بیان می‌کند، فرمول‌بندی شده است. همچنین Slope/W قابلیت تحلیل پایداری با اکثر روش‌های مربوط به تعادل حدی از جمله روش مورگنسترن - پرایس و بیش‌اپ را دارد. از مهم‌ترین مزایای دیگر این نرم‌افزار، قابلیت انجام تحلیل احتمالاتی با روش شبیه‌سازی مونت-کارلو در تعداد تکرار بسیار زیاد است همچنین این بخش از نرم‌افزار این امکان را به کاربر می‌دهد تا برای محاسبه دقیق‌ترین احتمال شکست در مقطع سد به تحلیل حساسیت فرا سنجه‌های ورودی و تغییر این فراسنجه‌ها از جمله میزان انحراف معیار، میانگین، نوع توزیع احتمالاتی و اعمال ضربی همبستگی بپردازد. این نرم‌افزار همچنین سازگاری و همبستگی بسیار مناسبی با سایر نرم‌افزارهای بسته نرم‌افزاری Geo Studio دارد. در تحقیق حاضر از این نرم‌افزار برای مطالعه پایداری یک سد خاکی در حالت قطعی و غیرقطعی (احتمالاتی) استفاده گردید.

معرفی سد نمرود

در این مطالعه از سد نمرود به عنوان مطالعه موردی استفاده شد. این سد در حدود 100 کیلومتری تهران و 16 کیلومتری باختر- جنوب باختری شهرستان فیروزکوه و در



شکل (۱): مقطع (۱) واقع در جناح چپ سد نمروود (مهندسین مشاور لار، ۱۳۸۱)



شکل (۲): مقطع (۲) واقع در بخش میانی سد نمروود (مهندسین مشاور لار، ۱۳۸۱)

جدول (۱): مشخصات اجزاء اصلی سد خاکی سنگریزهای نمروود (مهندسین مشاور لار، ۱۳۸۱)

تعریف	مشخصه	تعریف	مشخصه	تعریف	مشخصه
۸۳/۵ متر	ارتفاع سد از کف پی هسته رسی	فرازبند همگن و توغل انحراف	سیستم انحرافي موقت	خاکی سنگریزهای هسته رسی	نوع سد
۶۳ میلیون مترمکعب	حجم بدنه	۸۱ متر	ارتفاع سد از کف رودخانه	هسته رسی و دیوار آبپند	سیستم آبپندی دائم
۱ افقی به ۲ قائم	شیب پایین دست	۲/۵ افقی به ۲/۵ قائم	شیب بالادست	۷۷۰۰۰ مترمکعب	حجم هسته رسی
توغل تحت فشار به قطر نهایی ۲/۵ متر	سیستم آبگیری	۱۳۹/۱ مترمکعب	حجم مخزن در تراز نرمال	اوچی آزاد به عرض ۲۳ متر خالص	نوع سرریز

اساس روش احتمالاتی این امکان را فراهم می‌کند که به ابزارهای قدرتمندی جهت کمی کردن عدم قطعیت شامل محاسبه تابع هدف^۱، احتمال شکست^۲ و شاخص قابلیت اطمینان^۳ تبدیل گردند. در ادامه اقدام به ارائه جزئیات بیشتری از مراحل انجام تحلیل قابلیت اطمینان با روش MCST بر روی سد نمروود می‌گردد.

تابع هدف

مرز بین عملکرد مطلوب یک سیستم و عملکرد نامطلوب آن سیستم به صورت یک حالت حدی با تابع هدف $g(x) = 0$ نشان داده می‌شود. چنانچه تابع هدف $g \geq 0$ باشد، اینمی تا زمانی می‌گردد و در صورتی که تابع هدف $g < 0$ حاصل گردد سازه مورد نظر اینمی خود را از دست می‌دهد و در مباحث تحلیل پایداری شیروانی به اصطلاح گسیختگی در شیب رخ می‌دهد.

مراحل تحلیل پایداری شیروانی سد نمروود بر اساس تئوری قابلیت اطمینان

روش‌های مرسوم تحلیل پایداری شیب بر اساس ضریب ایمنی بدست آمده از روش قطعی، نمی‌توانند عدم قطعیت فرا سنجه‌های ورودی را به صورت صریح نشان دهند به همین دلیل عدم قطعیت‌های موجود در فرا سنجه‌های ژئوتکنیکی مصالح و ساختگاه در پتانسیل شکست سد نادیده گرفته می‌شوند. قابلیت اطمینان، بیانگر احتمال عملکرد باکفایت یک سیستم تحت شرایط کاری از پیش تعیین شده و برای مدت زمانی معین است. از این روش برخلاف روش‌های مرسوم پایداری شیروانی در حالت قطعی، برای تحلیل مباحثی استفاده می‌گردد که به دنبال رفع ابهامات و عدم قطعیت‌های موجود در مسئله است.

^۱ Reliability Index^۲ Basic Function^۳ Probability of Failure

در این رابطه c چسبندگی، ΔL_i طول ضلع قطعه، w_i وزن هر قطعه، u فشار آب حفره‌ای، φ زاویه اصطکاک داخلی خاک و α_i زاویه قطعه با افق است.

احتمال شکست

احتمال شکست (P_f) را می‌توان با توابع چگالی احتمال مربوط به متغیرهای ورودی به تابع هدف به دست آورد. احتمال شکست بر اساس معادله (۴) تعریف می‌گردد که یک معادله عمومی برای حل مسائل قابلیت اطمینان است. هالدر و ماهدوان، ۲۰۰۰.^۳

$$P_f = \iiint F_x(x_1, x_2, x_3, \dots, x_n), dx_1, \dots, dx_n \quad (4)$$

که در آن (X_1, X_2, \dots, X_n) تابع چگالی احتمال ترکیبی برای متغیرهای پایه x است و انتگرال گیری روی تمام سطوح شکست اتفاق می‌پذیرد. در عمل بدست آوردن تابع چگالی احتمال و انتگرال گیری از این معادله چندان ساده و دست‌یافتنی نیست. درنتیجه از روش‌های تقریبی نظیر روش FORM و یا روش‌های شبیه‌سازی نظیر MCST جهت تحلیل قابلیت اطمینان و حل معادله (۴) استفاده می‌گردد. در این پژوهش از روش MCST به دلیل دقیق‌تر بودن و سهولت انجام محاسبات استفاده گردید. البته مشکل این روش زمان طولانی انجام محاسبات است. این روش این امکان را برای کاربر فراهم می‌نماید که شکل تابع عملکرد را انتخاب کند تا مقادیر احتمالاتی دقیق و قابل محاسبه باشند (مهریانی لاری، ۱۳۹۴). در این روش بعد از تولید اعداد تصادفی، مقدار تابع حالت حدی ($g(x)$ برای هر دسته از اعداد تصادفی که یک چرخه شبیه‌سازی محسوب می‌شود، محاسبه می‌گردد. در ادامه با استفاده از رابطه زیر احتمال شکست سازه محاسبه می‌گردد:

$$P_f = prob(p < 1) = \frac{n_f}{n_t} \quad (5)$$

که در آن P_f احتمال گسیختگی است.

در این روش جهت اطمینان از درستی نتایج، نیاز به تعداد زیادی چرخه شبیه‌سازی وجود دارد تا رفتار تابع عملکردی

در تحلیل سدهای خاکی تابع هدف به صورت معادله (۱) تعریف می‌گردد (حریری اردبیلی، ۲۰۱۸).

$$g(x) = F - 1 = \frac{R}{S} - 1 \quad (1)$$

که در آن R نماینده نیروهای مقاوم، S نماینده نیروهای محرك و F ضریب ایمنی سد خاکی است. همان‌گونه که قبلاً بیان شد ضریب ایمنی پایداری شیروانی F در معادله (۱) را می‌توان با روش‌های مختلفی تعیین کرد. در تحقیق حاضر از روش تعادل حدی مورگنسترن-پرایس و بیشاب و به کمک نرم‌افزار Geo-studio برای محاسبه فراسنجه F استفاده می‌شود. در روش مورگنسترن-پرایس هر دو تعادل نیروها و تعادل گشتاور ارضا می‌گردد. در این روش پس از برش زدن پروفیل شیروانی به تعداد n قطعه، ضریب ایمنی پایداری شیروانی با استفاده از رابطه زیر و به صورت سعی و خطأ محاسبه می‌گردد (مورگنسترن و پرایس، ۱۹۶۷).

$$F = \frac{\sum_{i=1}^{n-1} \left(R_i \prod_{j=1}^{n-1} \Psi_j \right) + R_n}{\sum_{i=1}^{n-1} \left(T_i \prod_{j=1}^{n-1} \Psi_j \right) + T_n} \quad (2)$$

در این معادله، R نیروهای مقاوم، T نیروهای محرك و Ψ فراسنجه‌ی بر حسب ضریب ایمنی، زاویه قطعه با افق و زاویه اصطکاک داخلی خاک است. همچنین در روش بیشاب نیز برای حل مسئله، بعد از قطعه قطعه نمودن پروفیل شیروانی به تعداد n قطعه از روش سعی و خطأ برای محاسبه ضریب ایمنی استفاده می‌شود. یعنی در ابتدا یک ضریب ایمنی معقول فرض شده و سپس ضریب ایمنی جدیدی محاسبه می‌گردد. ضریب ایمنی در این روش بر اساس رابطه زیر تعریف می‌گردد (بیشاب، ۱۹۵۵).^۲

$$F = \frac{\sum_{i=1}^n \left(\frac{c \Delta L_i \cos \alpha_i + (w_i - u \Delta L \cos \alpha_i) \tan \varphi}{\cos \alpha_i + \frac{\sin \alpha_i \cos \alpha_i \tan \varphi}{F}} \right)}{\sum_{i=1}^n w_i \sin \alpha_i} \quad (3)$$

بهدرستی تعیین گردد. در صورتی که تعداد چرخه‌های فرا سنجه‌های ورودی شبیه‌سازی بهاندازه کافی باشد می‌توان این روش را یک روش دقیق در نظر گرفت (هالدر و ماه دوان، ۲۰۰۰).^۱

شاخص قابلیت اطمینان

شاخص قابلیت اطمینان درواقع بیان دیگری از احتمال شکست سازه است. این شاخص درواقع کوتاهترین فاصله خط تابع هدف $(Z_R, Z_S)=0$ تا مبدأ فرا سنجه‌های فروکاست بار و مقاومت (Z_R, Z_S) در فضای نرمال استاندارد است. در معادله (۱) چنانچه نیروهای مقاوم و محرك از هم مستقل باشند می‌توان شاخص قابلیت اطمینان را عکس ضریب پراکندگی تابع هدف دانست. همچنین اگر نیروهای مقاوم و نیروهای محرك بهصورت متغیرهای تصادفی با توزیع نرمال تعریف شوند، می‌توان رابطه شاخص قابلیت اطمینان را با احتمال شکست برابر با معادله (۶) دانست (ژائو و همکاران، ۱۹۹۹).^۲

$$\beta = -\phi^{-1}(P_f) \quad (6)$$

که در آن β برابر با شاخص قابلیت اطمینان است. بر طبق آیین‌نامه (۱۹۹۷) USACE^۳ چنانچه شاخص β بزرگ‌تر از ۴ باشد، پایداری سد در شرایط خوبی قرار دارد. درحالی‌که مقادیر کمتر از ۱/۵ برای این شاخص می‌تواند سد را در شرایط خطرناکی قرار دهد.

جدول (۲): میانگین و انحراف معیار مصالح سد خاکی نمرود

انحراف معیار	میانگین	قطع ۲		انحراف معیار	میانگین	قطع ۱	
		پوسته	هسته			پوسته	هسته
۱	۴	c (kPa)	پوسته	۴/۴	۲۰	c (kPa)	پوسته
۷/۱	۳۳	ϕ (deg.)		۴/۴	۲۱	ϕ (deg.)	
۴/۷	۲۲	γ (kn.m ^{-۳})		۴/۴	۲۲	γ (kn.m ^{-۳})	
۲/۲	۱۰	c (kPa)	هسته	۲/۲	۱۰	c (kPa)	هسته
۷	۳۲	ϕ (deg.)		۴/۴	۱۹	ϕ (deg.)	
۴/۴	۲۱	γ (kn.m ^{-۳})		۴/۴	۲۱	γ (kn.m ^{-۳})	
.	.	c (kPa)	سنگریز	.	.	c (kPa)	سنگریز
۹/۴	۴۶	ϕ (deg.)		۹/۴	۴۶	ϕ (deg.)	
۴/۴	۲۱/۹	γ (kn.m ^{-۳})		۴/۴	۲۱/۹	γ (kn.m ^{-۳})	

^۱ U.S. Army Corps of Engineers

^۲ Halder A. and Mahadevan S

^۳ Zhao et al., 1999

(روش احتمالاتی) با نتایج تحلیل کلاسیک، در ابتدا امر

پایداری

شرایط بارگذاری

شیروانی سد در شرایط قطعی مورد تحلیل قرار می‌گیرد. در شرایط شبه‌استاتیکی میزان ضربی بار افقی زلزله بر مبنای زلزله بهره‌برداری برای شرایط پایان ساخت برابر با $15/0$ و در شرایط تراوش ماندگار بار زلزله برابر با $2/0$ در نظر گرفته شد (مهندسين مشاور لار، ۱۳۸۱).

خلاصه تحلیل‌های انجام شده

در این بخش خلاصه‌ای از مدل‌سازی‌های انجام شده مطابق جدول (۳) مربوط به روش قطعی و جدول (۴) مربوط به روش غیرقطعی (احتمالاتی) ارائه می‌گردد. نکته دیگر اینکه محدوده زمانی اجرای تحلیل‌های غیرقطعی برای کامپیوتری با مشخصات CPU intel® core™ 2Duo CPU رم ۴ و حالت سیستم 64-bit مابین ۸ الی ۱۶ ساعت است. به این ترتیب کل زمان اجرای مدل‌سازی در نرم‌افزار ۲۳۰ ساعت است.

جدول (۳): خلاصه تحلیل‌های انجام شده در روش قطعی

عنوان	روش تحلیل	جزئیات مدل‌سازی
روش تعادل حدی و استفاده از روابط مورگنسترن - پرایس و بیشاپ	روش تحلیل	مقطع های مورد تحلیل
۲ نوع بارگذاری شامل شرایط پایان ساخت مقطع (۱) در حال با و بدون زلزله و ۴ نوع بارگذاری شامل شرایط پایان ساخت و تراوش ماندگار برای مقطع (۲) در حال با و بدون زلزله	شرایط بارگذاری	۲ مقطع مختلف شامل مقطع (۱) در جناح چپ و مقطع (۲) در محدوده میانی در
۲ نوع مختلف شامل نوع (۱) برای هر دو مقطع و نوع (۲) برای Grid and Radius Entry and Exit- هر دو مقطع	نوع سطح لغزش	۲ نوع مختلف شامل مقطع (۱) در جناح چپ و مقطع (۲) در جناح چپ
تعداد مدل‌سازی	روش تعادل حدی و استفاده از روابط مورگنسترن - پرایس و بیشاپ	تعداد مدل‌سازی

جدول (۴): خلاصه تحلیل‌های انجام شده در روش غیرقطعی

تعداد مدل‌سازی	جزئیات مدل‌سازی	هدف از تحلیل
۵ مدل	شرایط پایان ساخت مقطع (۲)	تعیین تعداد چرخه شبیه‌سازی
۴ مدل	شرایط پایان ساخت مقطع (۱)، شرایط تراوش ماندگار مقطع (۲)	قابلیت اطمینان در شرایط موجود
۴ مدل	شرایط پایان ساخت مقطع (۱)، شرایط تراوش ماندگار مقطع (۲)	تحلیل حساسیت اندازه بار زلزله
۶ مدل	شرایط تراوش ماندگار مقطع (۲)	تحلیل حساسیت انحراف معیار استاندارد
۴ مدل	شرایط پایان ساخت مقطع (۱) و شرایط تراوش ماندگار مقطع (۲)	تحلیل حساسیت ضربی همبستگی
۴ مدل	شرایط پایان ساخت مقطع (۱) و شرایط تراوش ماندگار مقطع (۲)	تحلیل حساسیت نوع توزیع احتمالاتی

تراوش ماندگار از تراز نرمال و پایان ساخت در دو حالت با و بدون بار زلزله ارائه می‌گردد.

تحلیل قطعی پایداری شیروانی

در حالت قطعی و بدون در نظر گرفتن عدم قطعیت فرا سنجه‌های مدل‌سازی، تحلیل پایداری شیروانی هر دو

تجزیه و تحلیل نتایج

در این بخش با توجه به مطالب ارائه شده در جدول‌های (۳) و (۴)، نتایج حاصل از تحلیل قطعی و قابلیت اطمینان شیروانی مقطع (۱) (جناح چپ) در شرایط پایان ساخت و مقطع (۲) (جناح میانی) سد خاکی نمود در شرایط

محاسبه سطوح گسیختگی استفاده شد. در روش Entry and Exit مدل شروع و پایان سطح لغزش به مدل معرفی می‌شود تا مدل از بین سطوح لغزش محتمل، بحرانی‌ترین را انتخاب کند. همچنین در روش Grid and Radius یک شبکه برای نمایش سطح لغزش و یک محدوده یا شعاع برای سطح لغزش بحرانی تعیین می‌گردد. در شکل‌های (۳) تا (۵) ضریب ایمنی سطوح گوه گسیختگی، برای شرایط استاتیکی و شبه‌استاتیکی نشان داده شده است.

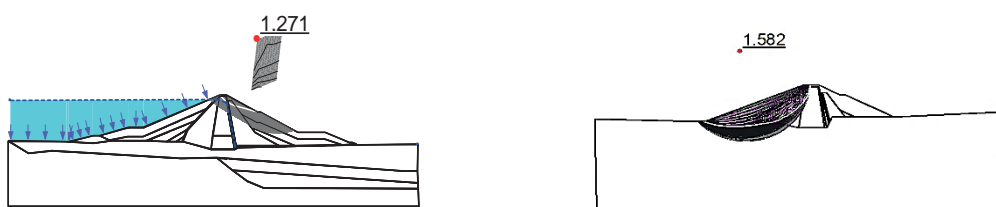
قطع بحرانی سد نمود صورت پذیرفت. در جدول (۵) نتایج تحلیل پایداری شیروانی بالادست سد و در جدول (۶) نتایج تحلیل پایداری شیروانی پایین دست سد نمود با استفاده از روش‌های مورگنسترن - پرایس و بیشپ در دو حالت استاتیکی و شبه‌استاتیکی ارائه شده است. همچنین در این دو جدول مقادیر ضریب ایمنی ارائه شده توسط مشاور طرح نیز ارائه شده‌اند (مهندسين مشاور لار، ۱۳۸۱). در تحقیق حاضر از دو نوع سطح لغزش مختلف شامل Grid and Radius و Entry and Exit جهت

جدول (۵): نتایج تحلیل پایداری شبب مقطع جناح چپ (مقطع ۱) در شرایط پایان ساخت

ردیف	سطح لغزش	ضریب ایمنی	شبه‌استاتیکی	روش تحلیل
۱	Entry and Exit	۲/۴۹۵	۱/۵۸۲	مورگنسترن پرایس
۲	Grid and Radius	۲/۴۵۶	۱/۷۷۵	مورگنسترن پرایس
۳	Entry and Exit	۲/۵۲۰	۱/۶۰۷	بیشپ
۴	Grid and Radius	۲/۴۸۲	۱/۶۴۷	بیشپ
۵	Entry and Exit	۲/۰۰۲	۱/۳۸۲	مشاور طرح
۶	Grid and Radius	۲/۱۲۸	۱/۴۹۳	مشاور طرح

جدول (۶): نتایج تحلیل پایداری شبب مقطع میانی (مقطع ۲) در شرایط تراوش ماندگار از مخزن و شرایط پایان ساخت

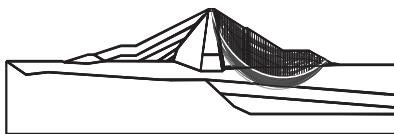
ردیف	سطح لغزش	شرایط بارگذاری	ضریب ایمنی	شبه‌استاتیکی	روش تحلیل
۱	Entry and Exit	تراوش ماندگار	۲/۴۶۵	۱/۳۳۰	مورگنسترن پرایس
۲	Grid and Radius	تراوش ماندگار	۲/۴۲۲	۱/۳۳۴	مورگنسترن پرایس
۳	Entry and Exit	تراوش ماندگار	۲/۴۶۰	۱/۳۰۸	بیشپ
۴	Grid and Radius	تراوش ماندگار	۲/۰۸۲	۱/۲۷۱	بیشپ
۵	Entry and Exit	تراوش ماندگار	۲/۱۴۲	۱/۹۷۸	مشاور طرح
۶	Grid and Radius	تراوش ماندگار	۲/۴۵۰	۲/۲۲۰	مشاور طرح
۷	Entry and Exit	پایان ساخت	۲/۰۱۳	۱/۶۵۴	مورگنسترن پرایس
۸	Grid and Radius	پایان ساخت	۱/۹۶۱	۱/۶۷۶	مورگنسترن پرایس
۹	Entry and Exit	پایان ساخت	۲/۰۶۱	۱/۸۲۲	بیشپ
۱۰	Grid and Radius	پایان ساخت	۲/۱۰۲	۱/۷۰۶	بیشپ
۱۱	Grid and Radius	پایان ساخت	۱/۹۵۲	۱/۲۷۵	مشاور طرح
۱۲	Entry and Exit	پایان ساخت	۱/۹۰۰	۱/۲۵۶	مشاور طرح



شکل (۴): بحرانی‌ترین ضریب ایمنی تحلیل پایداری شیروانی تراوش ماندگار مقطع (۲) به روش سطح لغزش Grid and Radius

شکل (۳): بحرانی‌ترین ضریب ایمنی تحلیل پایداری شیروانی پایان ساخت مقطع (۱) به روش سطح لغزش Grid and Radius

1.654



شکل (۵): بحرانی ترین ضریب ایمنی تحلیل پایداری شیروانی پایان ساخت مقطع (۲) به روش سطح لغزش

دارای عدم قطعیت، اعمال ضریب همبستگی و تغییر نوع توزیع فرا سنجه‌های مؤثر مورد بررسی قرار می‌گیرد.

تعیین تعداد چرخه‌های شبیه‌سازی

تعداد چرخه شبیه‌سازی بر روی پاسخ دریافت شده از روش MCST مؤثر است. به این ترتیب اولین قدم، انتخاب تعداد چرخه‌های شبیه‌سازی (n_t) است به گونه‌ای که جواب‌های مستقلی بدست آید. البته باید توجه داشت که هر چه مقدار n_t افزایش یابد زمان تحلیل نیز افزایش می‌یابد. درنتیجه لازم است که یک مقدار بهینه محاسبه شود. در تحقیق حاضر برای انجام این کار، تحلیل قابلیت اطمینان پایداری شیروانی مقطع (۲) با استفاده از مقادیر مختلف فراسنجه n_t انجام گرفت. نتایج خروجی تحلیل قابلیت اطمینان شامل احتمال شکست و شاخص قابلیت اطمینان در جدول (۷) ارائه شده است. همچنین با توجه به نتایج این جدول، تغییرات فراسنجه P_f نسبت به n_t نشان داده شده است. بررسی اطلاعات جدول (۷) و شکل (۶) نشان می‌دهد که نتایج روش MCST متناظر با تعداد ۲۰۰۰۰ چرخه شبیه‌سازی تفاوت چندانی با ۱۵۰۰۰ ندارد. به این ترتیب تعداد چرخه‌های شبیه‌سازی (n_t) برابر با ۱۵۰۰۰ به عنوان مبنای تحلیل قابلیت اطمینان حاضر قرار می‌گیرد و در تحلیل‌های آتی از این تعداد چرخه شبیه‌سازی استفاده شد.

جدول (۷): تغییرات تعداد تکرارهای شبیه‌سازی بر نتایج حاصل از روش MCST

شاخص β	P_f	n_t	ردیف
۲/۴۲۲	۰/۰۰۷۷	۱۰۰۰	۱
۱/۸۷۶	۰/۰۳۰	۵۰۰۰	۲
۱/۷۲۱	۰/۰۴۲	۱۰۰۰۰	۳
۱/۶۱۶	۰/۰۵۳	۱۵۰۰۰	۴
۱/۶۱۴	۰/۰۵۳	۲۰۰۰۰	۵

تحلیل نتایج نشان می‌دهد که در شرایط پایان ساخت، روش بیشاب کمینه ضریب ایمنی در شرایط شبه‌استاتیکی را با فرض سطح لغزش انتخابی Grid and Radius برابر با $1/458$ به دست می‌دهد که بحرانی ترین ضریب ایمنی از دیدگاه روش تعادل حدی در مقطع (۱) است. همچنین همان‌طور که در شکل (۴) ملاحظه می‌گردد، بحرانی ترین ضریب ایمنی پایداری شیروانی در شرایط تراویش ماندگار مقطع (۲) مربوط به روش بیشاب در شرایط شبه‌استاتیکی و انتخاب سطح لغزش Grid and Radius است که دارای مقداری برابر با $1/271$ است در حالی که در حالت استاتیکی این مقدار به عدد $2/082$ می‌رسد. همچنین کمترین ضریب ایمنی در شرایط پایان ساخت مقطع (۲) مربوط به روش مورگنسترن - پرایس با اعمال بار زلزله و انتخاب سطح لغزش Entry and Exit است که دارای مقداری برابر با $1/654$ است. به طور کلی نتایج ارائه شده در جدول - های (۵) و (۶) نشان می‌دهند که ضریب‌های ایمنی محاسبه شده در روش بیشاب و مورگنسترن - پرایس اندکی بالاتر از ضریب‌های ایمنی ارائه شده توسط مشاوره طرح Grid and Radius است. همچنین با انتخاب سطح لغزش ضریب‌های ایمنی در هر دو روش بیشاب و مورگنسترن - پرایس و در هر دو حالت استاتیکی و شبه‌استاتیکی مقداری کاهش داشته است اما کلیه ضریب‌های ایمنی حاصله در محدوده مجاز برای تحلیل پایداری شیروانی سدهای خاکی قرار گرفته است.

تحلیل قابلیت اطمینان پایداری شیروانی

در این بخش طبق جزئیات ارائه شده در جدول (۴)، نتایج تحلیل غیرقطعی (احتمالاتی) پایداری شیروانی سد نمود در حالت‌های مختلف شامل بررسی شرایط موجود، تحلیل حساسیت بر روی اندازه زلزله اعمالی به مدل، تحلیل حساسیت انحراف معیار انتخاب شده برای متغیرهای

به گونه‌ای که مقدار فرانسجه احتمال شکست در حالت مورگنسترن - پرایس به عدد 0.055 و احتمال شکست در حالت بیشاب به مقدار 0.0028 می‌رسد. همچنین مقدار میانگین ضریب‌های ایمنی در هر دو حالت بیشتر از 1 به دست می‌آید.

جدول (۸) نتایج تحلیل قابلیت اطمینان پایداری مقطع

(۱) سد نمرود در شرایط پایان ساخت و افزایش بار زلزله

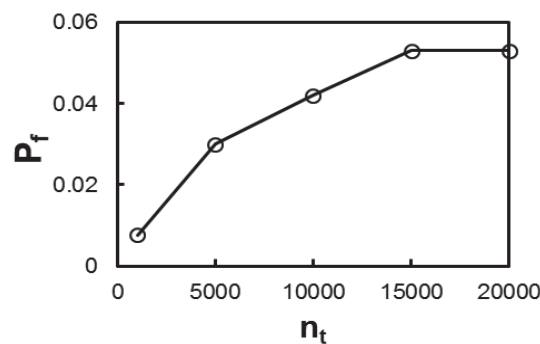
بیشاب	مورگنسترن - پرایس	فرانسجه
۱/۱۵۶	۱/۱۱۰	میانگین ضریب ایمنی
۰/۰۵۳۱	۰/۰۴۶۶	انحراف معیار ضریب ایمنی
۲/۸۳۳	۱/۵۹۳	شاخص β
۰/۰۰۲	۰/۰۵۵	P_f

در جدول (۹) نتایج تحلیل MCST در حالت شرایط تراوش ماندگار مقطع (۲) سد نمرود با افزایش ضریب بار زلزله به میزان 15 درصد نسبت به بار زلزله بهره‌برداری (که برابر با $0/2$ است) ارائه شده است. با افزایش میزان بار زلزله، احتمال شکست سد با هر دو روش مورگنسترن - پرایس و بیشاب افزایش یافته به گونه‌ای که مقدار فرانسجه احتمال شکست در حالت مورگنسترن - پرایس به عدد $0/053$ و احتمال شکست در حالت بیشاب به مقدار $0/026$ می‌رسد. همچنین مقدار میانگین ضریب‌های ایمنی در هر دو حالت تقریباً برابر با 1 به دست می‌آید. در شکل (۷) نیز نتایج تحلیل پایداری شیروانی مقطع (۲) به همراه تابع چگالی احتمال ضریب ایمنی در حالت تراوش ماندگار و استفاده از رابطه مورگنسترن - پرایس ارائه شده است.

جدول (۹) نتایج تحلیل قابلیت اطمینان پایداری مقطع (۲) سد

نمرود در شرایط تراوش ماندگار و افزایش ضریب زلزله

بیشاب	مورگنسترن - پرایس	فرانسجه
۰/۹۴۲	۱/۰۱۴	میانگین ضریب ایمنی
۰/۰۵۴	۰/۰۶۷	انحراف معیار ضریب ایمنی
۱/۹۲۷	۱/۶۱۶	شاخص β
۰/۰۲۶	۰/۰۵۳	P_f



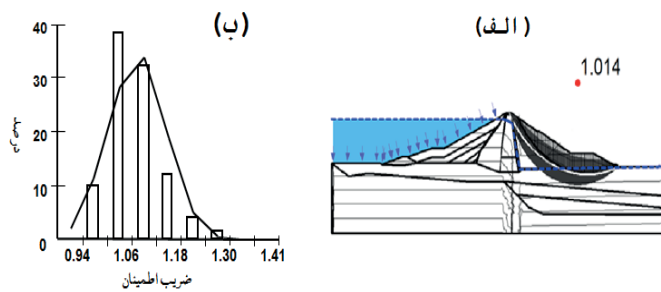
شکل (۶): تغییرات احتمال شکست با تعداد چرخه‌های شبیه‌سازی

بررسی شرایط موجود

نتایج روش MCST در حالت شرایط موجود نشان می- دهد که به علت ضریب ایمنی بالای سد نمرود، احتمال شکست در حالت‌های مختلف استاتیکی و شبیه‌استاتیکی (با اعمال ضریب زلزله طرح $0/2$) مقداری ناچیز است. به گونه‌ای که در بدترین حالت مربوط به شرایط پایان ساخت در مقطع (۱) شاخص قابلیت اطمینان برابر با $6/982$ و احتمال شکست برابر با 10^{-12} است. همچنین در شرایط تراوش ماندگار مقطع (۲)، کمترین شاخص قابلیت اطمینان و بیشترین احتمال شکست به ترتیب برابر با $3/825$ و $0/0007$ محاسبه شد.

تحلیل حساسیت اندازه بار زلزله

با توجه به اینکه که در شرایط موجود احتمال شکست سد مقدار ناچیزی به دست آمد در ادامه اقدام به افزایش ضریب زلزله طرح به میزان 15 درصد شد و نتایج حاصل از تحلیل MCST در حالت‌های تراوش ماندگار و پایان ساخت با شرایط موجود سد مقایسه شدند. در جدول (۸) نتایج تحلیل در حالت شرایط پایان ساخت مقطع (۱) سد نمرود با افزایش ضریب بار زلزله به میزان 15 درصد نسبت به بار زلزله بهره- برداری (که مقداری برابر با $0/15$ است) ارائه شده است. همان‌طور که از داده‌های این جدول مشخص است با افزایش میزان بار زلزله، احتمال شکست سد با هر دو روش تحلیل پایداری شیروانی مورگنسترن - پرایس و بیشاب افزایش یافته



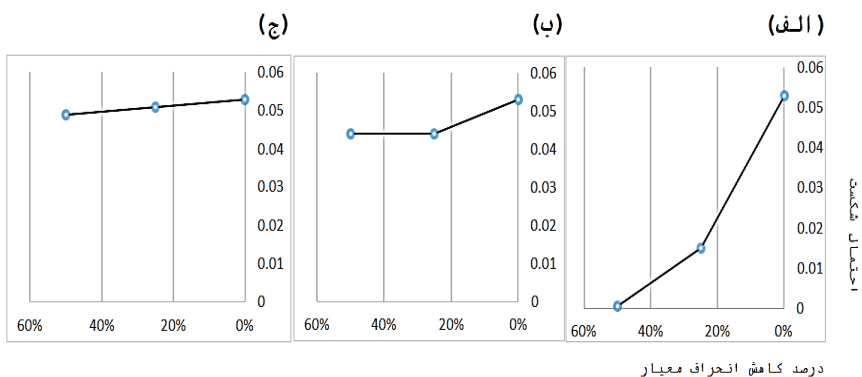
شکل (۷) نتایج تحلیل قابلیت اطمینان پایداری شیروانی مقطع (۲) سد نمروود در شرایط تراوش ماندگار و افزایش ضربی زلزله طرح به میزان ۱۵ درصد. (الف) سطوح مختلف گسیختگی به همراه میانگین ضربی ایمنی و (ب)تابع چگالی احتمال ضربی ایمنی

شده است. نکته مهم اینکه با توجه به ثابت بودن مقدار میانگین فرا سنجه‌های مؤثر، مقدار میانگین ضربی ایمنی در حالت‌های مختلف ثابت و برابر با 0.962 بدست آمد. نتایج نشان می‌دهد که با کاهش میزان انحراف معیار فراسنجه چسبندگی به میزان 50 درصد، احتمال شکست سد به میزان حدوداً 17 درصد کاهش می‌یابد. همچنین با کاهش انحراف معیار فراسنجه زاویه اصطکاک داخلی خاک به میزان 50 درصد، احتمال شکست در حدود 100 درصد به میزان 50 درصد. درنتیجه اثربخشی این تغییرات بر احتمال شکست دارد. همچنین بیشترین تأثیر در تغییر احتمال شکست به ترتیب مربوط به فرا سنجه‌های زاویه اصطکاک داخلی خاک، چسبندگی و وزن مخصوص است.

تحلیل حساسیت انحراف معیار فرا سنجه‌های مؤثر
در این بخش تحلیل حساسیت انحراف معیار استاندارد فرا سنجه‌های دارای عدم قطعیت (γ, φ, C) در تحلیل پایداری شیروانی سد نمروود برای حالت شبۀ استاتیکی با افزایش 15 درصد ضربی بار زلزله طرح انجام شد. برای این منظور پایداری شیروانی مقطع (۲) در شرایط تراوش ماندگار مورد تحلیل قرار گرفت. از آنجاکه انحراف معیار استاندارد فرا سنجه‌های موجود در جدول (۲) به صورت بیشترین مقدار گزارش شده از مقالات و گزارش‌های مختلف علمی استخراج شد درنتیجه در این قسمت اقدام به کاهش انحراف معیار فرا سنجه‌های مؤثر به میزان 25 و 50 درصد شد. به این ترتیب امکان بررسی و مقایسه کمی تأثیر کاهش انحراف معیار فرا سنجه‌های مختلف بر پایداری سد وجود خواهد داشت. نتایج تحلیل MCST در این حالت در جدول (۱۰) ارائه شده است. همچنین در شکل (۸) تغییرات احتمال شکست شیروانی سد نمروود در حالت تغییر انحراف معیار فرا سنجه‌های مؤثر نشان داده

جدول (۱۰): تحلیل حساسیت انحراف معیار استاندارد فرا سنجه‌های مؤثر بر پایداری مقطع (۲) سد نمروود در شرایط تراوش ماندگار

شاخص β	P_f	مقدار	فرا سنجه
۱/۶۱۶	۰/۰۵۳	مقادیر اولیه انحراف معیار	Φ
۱/۷۰۰۲	۰/۰۱۵	کاهش 25 درصدی انحراف معیار	
۱/۷۰۰۱	۰/۰۰۰۵	کاهش 50 درصدی انحراف معیار	
۱/۶۱۶	۰/۰۵۳	مقادیر اولیه انحراف معیار	C
۲/۱۴۲	۰/۰۴۴	کاهش 25 درصدی انحراف معیار	
۳/۲۴۵	۰/۰۴۴	کاهش 50 درصدی انحراف معیار	
۱/۶۱۶	۰/۰۵۳	مقادیر اولیه انحراف معیار	Γ
۱/۷۰۰۷	۰/۰۵۱	کاهش 25 درصدی انحراف معیار	
۱/۶۴۹	۰/۰۴۹	کاهش 50 درصدی انحراف معیار	



شکل (۸): تغییرات احتمال شکست نسبت به تغییر انحراف معیار فرا سنجه‌های مؤثر بر پایداری شیروانی سد نمود: (الف) فراسنجه زاویه اصطکاک داخلی (ب) فراسنجه چسبندگی (ج) فراسنجه وزن مخصوص

است که شاخص β سطح لغزش بحرانی را از مقداری برابر با $1/592$ برای حالت استقلال خطی، به مقدار $2/498$ در حالت اعمال ضریب همبستگی افزایش داده است.

جدول (۱۱): نتایج روش MCST مقطع‌های سد نموده با اعمال ضریب همیستگی برابر با 0.72 - مابین فرا سنجه‌های (c, φ)

(c,φ)

مقطع	حالت بارگذاری	F	شاخص β	P_f
۱	پایان ساخت شرایط موجود همراه با اعمال ضریب همبستگی	۱/۵۸۶	۷/۰۰۲	۱۰-۱۲
۱	پایان ساخت شبه- استاتیکی و اعمال ضریب همبستگی	۱/۱۵۷	۲/۴۹۸	۰/۰۰۵۳
۲	ترواش ماندگار شرایط موجود همراه با اعمال ضریب همبستگی	۱/۲۲۶	۳/۳۲۵	۰/۰۰۰۴
۲	ترواش ماندگار شبه- استاتیکی و اعمال ضریب همبستگی	۰/۹۶۲	۲/۲۲۹	۰/۰۱۲

تحلیل حساسیت نوع توزیع فرا سنجه‌های مؤثر در بخش‌های قبلی توزیع فرا سنجه‌های مؤثر به صورت نرمال در نظر گرفته شد. با این وجود در بعضی از مراجع توزیع فراسنجه‌هایی نظیر وزن مخصوص به صورت لگ-نمایی در نظر گرفته شده است (وزیریزاده، ۱۴۰۲). بر این اساس در این بخش با تغییر توزیع فراسنجه وزن مخصوص به لگ‌نمای اقدام به محاسبه شاخص قابلیت اطمینان و احتمال شکست مقطعی (۱) تحت شرایط پایان

اثر اعمال ضریب همیستگی

ضریب‌های همبستگی که مقادیری مابین ۱-۱ دارند، را می‌توان از روابط آماری و مطالعات تخصصی محاسبه کرد. مقادارهای مثبت نشان‌دهنده وابستگی مستقیم و مقادارهای منفی نشان‌دهنده وابستگی معکوس است. یعنی برای مثال در شرایط همبستگی مستقیم افزایش یکی موجب افزایش دیگری می‌شود و بلعکس برای همبستگی معکوس. در این بخش تأثیر اعمال ضریب همبستگی مابین دو فراسنجه چسبندگی و زاویه اصطکاک داخلی خاک بر تغییرات فرا سنجه‌های مؤثر در حالت‌های استاتیکی و شباهستاتیکی با افزایش ۱۵ درصدی بار زلزله موردنبررسی قرار می‌گیرد. برای این منظور با اعمال مقدار ضریب همبستگی برابر با $15/0$ و مقایسه آن با نتایج قبلی که مقدار این ضریب صفر بود (حالت عدم همبستگی) و یا وجود استقلال خطی بین دو فراسنجه)، تأثیر اعمال این فراسنجه بر شاخص قابلیت اطمینان و احتمال شکست مشخص شد. مقدار ضریب $15/0$ - با توجه منابع گذشته انتخاب شده است (وزیریزاده، ۲۰۱۷). در جدول (۱۱) نتایج تحلیل پایداری شیروانی مقطع (۱) تحت شرایط پایان ساخت و مقطع (۲) در شرایط تراوش ماندگار باوجود همبستگی مابین دو فراسنجه چسبندگی و زاویه اصطکاک داخلی ارائه شده است. مقایسه نتایج حاصل از این جدول با نتایج حاصل از قابلیت اطمینان شرایط موجود و نتایج جدول‌های (۸) و (۹) نشان می‌دهد که اعمال ضریب همبستگی معکوس باعث افزایش ناچیز شاخص قابلیت اطمینان و کاهش احتمال شکست می‌گردد. لیکن بیشترین تغییر مربوط به حالت پایان ساخت شباهستاتیکی،

در ابتدا اقدام به مطالعه ضریب‌های ایمنی پایداری شیروانی سد نمود در حالت قطعی گردید که نتایج نشان داد بحرانی‌ترین ضریب ایمنی در شرایط تراوش ماندگار مقطع جناح میانی سد نمود مربوط به روش بیشاب با اعمال بار زلزله طراحی و انتخاب سطح لغزش Grid and Radius است که دارای مقداری برابر با $1/271$ است. در حالی که در حالت استاتیکی این مقدار به عدد $20/82$ می‌رسد. با این وجود کلیه ضریب‌های ایمنی روش قطعی در محدوده مجاز برای تحلیل پایداری شیروانی سدهای خاکی قرار گرفته است. در ادامه نتایج تحلیل حساسیت بر روی تعداد چرخه شبیه‌سازی مونت‌کارلو نشان داد که تعداد 15000 چرخه می‌تواند منجر به نتایج مناسب شود.

نتایج تحلیل قابلیت اطمینان نشان داد که در شرایط موجود سد نمود به علت ضریب ایمنی بالای سد، بیشترین احتمال شکست در حالت‌های مختلف استاتیکی و شباهت‌استاتیکی برابر با $0/00007$ است. در ادامه نتایج تحلیل حساسیت بر روی اندازه بار زلزله اعمالی به مدل نشان می‌دهد که با افزایش بار زلزله به میزان 15 درصد، احتمال شکست سد به میزان حدوداً 100 درصد افزایش می‌یابد به‌گونه‌ای که مقدار فراسنجه احتمال شکست در حالت استفاده از رابطه مورگنسترن-پرایس به عدد $0/055$ می‌رسد که بیشترین احتمال شکست را دارد.

در ادامه، نتایج این پژوهش نشان داد که با کاهش میزان انحراف معیار استاندارد به میزان 50 درصد، احتمال شکست سد برای فرا سنجه‌های مؤثر چسبندگی، وزن مخصوص خاک و زاویه اصطکاک به ترتیب به میزان حدوداً 17 ، 8 و 100 درصد کاهش یافت که بیشترین تأثیر در تغییر احتمال شکست مربوط به فراسنجه زاویه اصطکاک است. در نهایت نتایج تحلیل تأثیر اعمال همبستگی بر روی فرا سنجه‌های چسبندگی و زاویه اصطکاک داخلی و همچنین تأثیر انتخاب نوع توزیع نرمال و لگ نرمال نشان می‌دهد که نوع توزیع فرا سنجه‌های چسبندگی (c)، زاویه اصطکاک داخلی (ϕ) و وزن مخصوص (γ) اثر چندانی بر احتمال شکست سازه سد ندارد به‌گونه‌ای که با تغییر نوع توزیع فراسنجه وزن مخصوص از حالت نرمال به لگ نرمال، احتمال شکست سد تنها به میزان حدوداً 2 درصد کاهش می‌یابد.

ساخت و مقطع (۲) در شرایط تراوش ماندگار گردید. در جدول (۱۲) نتایج حاصل از تحلیل MCST ارائه شده است.

مقایسه نتایج حاصل از این قسمت با توزیع لگنرمال و نتایج ارائه شده در جدول‌های (۷) و (۸) با توزیع نرمال برای فراسنجه وزن مخصوص نشان می‌دهد که انتخاب نوع توزیع احتمالاتی باعث تغییر کمی (در حدود 4 درصد) در افزایش شاخص β و یا کاهش P_f (در حدود 9 درصد) در شرایط پایان ساخت می‌گردد و در حالت تراوش ماندگار انتخاب نوع توزیع احتمالاتی تأثیری بر روی شاخص β و یا P_f نداشته است.

جدول (۱۲): نتایج روش MCST مقطع‌ها سد نمود با در نظر گرفتن توزیع لگنرمال برای فراسنجه وزن مخصوص

P_f	شاخص β	F	حالات بارگذاری	مقطع
10^{-12}	۷/۰۰۲	۱/۵۸۶	پایان ساخت با شرایط موجود	۱
$0/049$	۱/۶۲۱	۱/۱۵۷	پایان ساخت با افزایش 15 درصدی بارگذاری	۱
$0/00006$	۳/۸۲۵	۱/۲۲۶	تراوش ماندگار شرایط موجود	۲
$0/052$	۱/۶۲۷	۰/۹۶۲	تراوش ماندگار با افزایش 15 درصدی بارگذاری	۲

نتیجه‌گیری

تحلیل قابلیت اطمینان یک چارچوب منظم برای کمی سازی فرا سنجه‌های غیرقطعی مؤثر بر طراحی سازه‌های پیچیده فراهم می‌کند و این امکان را به طراح می‌دهد که اطلاعات مناسبی از میزان پایداری سازه و یا احتمال شکست آن تحت بارهای طراحی دریافت کند. بر این اساس در تحقیق حاضر اقدام به مطالعه پایداری شیروانی سد خاکی نمود تحت شرایط پایان ساخت و تراوش ماندگار از تراز نرمال بر اساس تحلیل قابلیت اطمینان گردید. برای این منظور با کمک روش شبیه‌سازی مونت-کارلو میزان پایداری دو مقطع از سد نمود مطالعه شد.

- 14- Hariri, Ardebili. M A. (2018). Risk reliability, resilience (R3) and beyond in dam engineering. A state-of-the-art review. International journal of disaster risk reduction. 31: 806-831.
- 15- Halder A. and Mahadevan S. (2000). Probability, reliability and statistical methods in engineering design. John Wiley & Son, P: 161.
- 16- Kang, F.; Li, J.; and Ma, Z.; (2013). An Artificial Bee Colony Algorithm for Locating the Critical Slip Surface in Slope Stability Analysis, Engineering Optimization.
- 17- Li, D., Qi, X. Cao, Z., Tang, X., Phoon, K., Zhou, C., (2016), Evaluating slope stability uncertainty using coupled Markov chain. Computers and Geotechnics, 73: 72-83.
- 18- Morgenstern NR and Price VE, (1967). A numerical method for solving the equations of stability of general slip surfaces. Computers journal, 120: 9 (4): 388-393.
- 19- Pang, R. Xu, B. Kong, X. Zou, D. Zhou, Y. (2018). Seismic reliability assessment of earth-rockfill dam slopes considering strain-softening of rockfill based on generalized probability density evolution method. Soil Dynamics and Earthquake Engineering V. 107: 96-107.
- 20- Peyras, L., Carvajal, C., Felix, H., Bacconnet, C., Royet, P., Becue, J.-P., Boissier, D. (2012). Computer program for multimodel reliability and optimization analysis. Journal of Computing in Civil Engineering. 27(1): 87-98.
- 21-Siacara, A.T. Futai, M. (2020). Reliability analysis of rapid drawdown of an earth dam using direct coupling. Computers and Geotechnics. V. 118: 103336.
- 22- United States Army Corps of Engineers. USACE (1997). Engineering and design: Introduction to probability and reliability methods for use in geotechnical engineering. Engineering Circular No. 1110-2-547. Dept. of the Army. Washington D.C.
- 23- Vazirizade, S.M., Nozhati, S., Zadeh, M.A. (2017). Probability-based assessment of dam safety using combined risk analysis and reliability methods – application to hazards studies. Journal of Environmental and Civil Engineering. 16(7): 795-817.
- 24- Zolfaghari, A. R.; Heath, A. C.; and McCombie, P. F. (2005). Simple Genetic Algorithm Search for Critical NonCircular Failure Surface in Slope Stability Analysis Comput. Geotech, Vol. 32, pp. 139-52.
- 25-Zhao Y. G, Ono T. (1999). A general procedure for first/second-order reliability method (FORM/SORM), Structural Safety; 21: 95-112.

مراجع

- ۱- امری، مهدی. و شادمان حیدری، پیمان. (۱۳۹۴). "بررسی و تعیین قابلیت اطمینان عملکردی سد بتنی دو قوسی کارون"، نشریه آنالیز سازه-زلزله، شماره ۱۲. دوره ۲. ص ۶۳ تا ۷۴
- ۲- "مطالعات مرحله دوم طرح سد نمرود"، مهندسین مشاور لار. سازمان آب منطقه‌ای تهران، جلد سوم- الف سازه‌های هیدرولیکی، مهرماه ۱۳۸۱.
- ۳- مهربانی لاری، امین، (۱۳۹۴)."تحلیل قابلیت اطمینان شبکهای سنگی با استفاده از روش ترکیب متوالی". پایان‌نامه کارشناسی ارشد. گروه عمران. دانشکده مهندسی عمران. دانشگاه صنعتی شیراز.
- ۴- کریمابی طبرستانی، م. "ارزیابی پایداری و تحلیل حساسیت لایه سنگچین محافظ در اطراف پایه‌های پل بر مبنای تحلیل قابلیت اطمینان" ، نشریه هیدرولیک، ۱۴، (۴)، ۵۳-۶۸.
- 5- Arai, K. and Tagyo, K. (1985). Determination of noncircular slip surfaces giving the minimum factor of safety in slope stability analysis, Soils and Foundations, 21, 43-51.
- 6- Bishop, A.W. and N.Morgenstein. (1960). Stability Coefficients for Earth Slopes. Geotechnique. Vol. 10: No.4.
- 7- Bishop, A. W, (1955). The use of slip circle in the stability analysis of slopes. Geotechnique, 5: 7-17.
- 8- Celestino, T. B.; and Duncan, J. M, (1981). Simplified Search for Non-Circular Slip Surface, Proceeding 10th International Conference on Soil Mechanics and Foundation Engineering, Stockholm, Sweden, pp. 391-4.
- 9- Cheng, Y M, and Zhu, L J, (2004).Unified formulation for two dimensional slope stability analysis and limitations in factor of safety determination. Soils and foundations 44, no. 6:121-127.
- 10- Cheng, Y. M.; Liang, L.; Chi, S. C.; and Wei,W. B. (2008) Determination of Critical Slip Surface Using Artificial Fish Swarm lgorthim, Geotech Geoenviron Eng. ASCE, Vol. 134, pp. 244-51.
- 11- Guo, X. Dias, D. (2020). Kriging based reliability and sensitivity analysis – Application to the stability of an earth dam. Computers and Geotechnics. V. 120: 103411.
- 12- Griffiths, D. V., Huang J. and Fenton, G. A. (2011). Probabilistic infinite slope analysis. Computers and Geotechnics 38: 577–584.
- 13- Ha, T. V. and Delwyn, G. F. (2003). The application of dynamic programming to slope stability analysis. Canadian Geotechnical Journal. 40: 830-847.

Study on the slope stability of embankment dam under different load conditions using deterministic and probabilistic methods (Case study: Namrood dam)

Amin Ebrahimi^{*}

Mojtaba Karimaei Tabarestani[†]

Abstract:

Slope stability analysis is one of the most important parts of an embankment dam design. However, the current conventional methods, which are based on the use of stability coefficients obtained from the deterministic methods, are not capable to explicitly analyze the uncertainty of effective parameters especially geotechnical parameters. This leads to an incorrect estimate of the potential stability of the dam structure. Accordingly, in the present study, the slope stability coefficient of Namrood dam as a case study was calculated for different load conditions, including permanent leakage and completion of construction by using deterministic and probabilistic methods. Geo-studio software package and Monte Carlo simulation techniques were used for analysis. The effect of earthquake load on the stability of the dam structure was also investigated. The results showed that, the failure probability of the critical sections of Namrood dam was negligible, so that the maximum probability of failure was calculated as 0.00007. Then, sensitivity analysis were carried out on the value and type of distribution of effective parameters. Results showed that with the increase in the earthquake load by 15%, the probability of dam failure increased by about 100%. Finally, results showed that by considering lognormal instead of normal distribution for unit weight of soils, the probability of dam failure only decreased for 1.88%.

^{*} M.Sc Graduated of Geotechnical Engineering, Shahid Rajaee Teacher Training University, Tehran. Iran.
AminEbrahimi060@gmail.com

[†] Assistant Professor, Department of Geotechnical and Water Engineering, Shahid Rajaee Teacher Training University, Tehran, Iran. karimaei@sru.ac.ir